

تهیه الیاف نانوکامپوزیتی پلی استایرن و بررسی جذب

۲- کلرو اتیل اتیل سولفاید بر روی آن

ابوالقاسم صفی‌نژاد^{*}، بزرگمهر مدادح^۱

۱- دانشجوی کارشناسی ارشد، ۲- استادیار، گروه شیمی، دانشگاه جامع امام حسین (ع)
(دریافت: ۱۳۹۰/۰۹/۲۲، پذیرش: ۱۳۹۰/۰۷/۰۲)

چکیده

نانوذرات اکسید منیزیم با روش آئرولیت سنتز شدند و اندازه و شکل آنها با استفاده از دستگاههای پراش پرتو ایکس و میکروسکوپ الکترونی روبشی تعیین گردید. این نانوذرات با محلول پلی استایرن در حلال تراهیدروفوران: دی‌متیل فرمامید (۳:۲) مخلوط شده و پس از بررسی پارامترهای الکتروریسی، برای تهیه الیاف نانوکامپوزیتی الکتروریسی شدند. مورفولوژی الیاف با استفاده از میکروسکوپ الکترونی روبشی مورد مطالعه قرار گرفت. رفع آلدگی از شبه‌عامل خردل (۲-کلرو اتیل اتیل سولفاید) در حضور این الیاف انجام شد. جذب 2-CEES با استفاده از دستگاه کروماتوگرافی گازی مورد مطالعه قرار گرفت. همچنین میزان جذب بر روی نانوذرات بدون نانوذره اضافه شده و بر روی نانوذرات مورد مطالعه قرار گرفت و نتایج حاصل با هم مقایسه گردید.

کلیدواژه‌ها: رفع آلدگی، شبه‌عامل خردل، نانو الیاف پلیمری، الکتروریسی.

Fabrication of Polystyrene Nanocomposite Fibers and Evaluation of 2-Chloro Ethyl Ethyl Sulfide Adsorption on it

A. Safinejad^{*}, B. Maddah

Department of Chemistry, Imam Hossein University

(Received: 09/24/2011, Accepted: 13/12/2011)

Abstract

Nanoparticles of MgO were synthesized by Aero gel method and their size and shape were determined by X-ray diffraction and Scanning Electron Microscopy. MgO nanoparticles were mixed with DMF/THF (2:3) solution of polystyrene and after optimization of electrospinning parameters, subjected to electrospinning to produce nanocomposite fibers. Morphology of fibers was studied by scanning electron microscope. Decontamination of mustard agent-simulant (2-chloro ethyl ethyl sulfide) was performed in the presence of these fibers. The adsorption of 2-CEES was studied using GC. The amount of adsorption on the nanofibers prior to the addition of nanoparticles and nanoparticles alone were studied too and the results were compared.

Keywords: Decontamination, Mustard Simulant, Polymeric Nano Fibers, Electrospinning.

* Corresponding author E-mail: a.safinejad@yahoo.com

Passive Defence Sci. & Tech. 2011, 4, 277-284

روی سطح نانوذرات قرار دارد انجام می‌گیرد. در سال ۲۰۰۷ چنگ^۲ و همکارانش خصوصیات اسیدی و بازی برخی اکسیدهای فلزی مانند اکسید کلسیم، اکسید منیزیم و اکسید آلمینیوم را بررسی کردند. آنها دریافتند که CaO و MgO دارای مکان‌های بازی Al_2O_3 دارای مکان‌های اسیدی و بازی برای جذب عوامل شیمیایی هستند. تعداد این مکان‌های اسیدی و بازی با کوچک شدن اندازه ذرات افزایش می‌یابد. بنابراین، مواد در مقیاس نانو با توجه به سطح فعال قابل توجهی که دارند، به طور مؤثری می‌توانند عوامل شیمیایی را جذب کنند [۱۶].

با توجه به اینکه عوامل شیمیایی در میدان نبرد به صورت ذرات آerosol و بخار می‌باشند، از این رو به کار بردن ذرات پودر و دانه‌ای شکل نانوذرات اکسید فلزی در میدان نبرد برای محافظت تجهیزات و انسان عملی نمی‌باشد [۱۱]. از طرفی این نانوذرات جاذب رطوبت هستند و جذب آب کارایی آنها را کاهش می‌دهد. بنابراین به سامانه نگهدارندهای نیاز دارند که کاربرد آنها را در مکان‌های مورد نیاز عملی کند و جاذب رطوبت نیز نباشد.

از بین مواد مختلف پلیمرها به علت خصوصیاتی از قبیل الاستیسیته، پلاستیسیته و ویسکوزیته مناسب در حالت محلول که قابلیت آنها را برای الکتروریسی فراهم می‌کند، انتخاب مناسبی می‌باشند. از طرفی پلیمرها آب‌گیریز بوده و بستری را برای نانوذرات فراهم می‌کنند، که باعث کاهش جذب آب توسط نانوذرات می‌شوند و مزاحمت آب را برطرف می‌کنند [۱۷، ۱۱].

تولید الیاف پلیمری با استفاده از فن الکتروریسی، روش مناسبی برای بوجود آوردن این بستر می‌باشد. در حیطه تولید نانوالیاف از پلیمرها، فرآیند الکتروریسی به علت فراهم آوردن کنترل مناسب بر فرآیند تولید نانوالیاف و امکان تولید در مقیاس صنعتی، به عنوان بر جسته‌ترین روش تولید نانوالیاف مطرح می‌باشد. جهت دست یافته به کنترل کامل بر هر فرآیند، باید پارامترهای تأثیرگذار بر آن فرآیند را مورد بررسی قرار داد تا با اعمال تغییر در این پارامترها بتوان کنترل فرآیند را به بهترین نحو در اختیار گرفت و محصولی با خصوصیات و کیفیت مورد نظر تولید نمود [۱۸]. با کاهش قطر الیاف از میکرومتر به نانومتر، الیاف خواص شگفت‌انگیزی از قبیل افزایش نسبت سطح به حجم (حدود ۱۰۰۰ برابر میکروالیاف)، انعطاف‌پذیری زیاد و کارایی مکانیکی فوق العاده از خود نشان می‌دهند [۱۹].

در مطالعه اخیر نانوذرات سنتز شده با پلیمر پلی استایرن در حلال مخلوط شده و به صورت الیاف کامپوزیتی الکتروریسی شدند. این نانوالیاف برای جذب ۲-کلرو اتیل اتیل سولفاید به کار برده شدند و میزان جذب به صورت کاهش در پیک حاصل از کروماتوگرافی گازی مشاهده شد.

۱. مقدمه

در سال‌های اخیر رفع آلودگی عوامل شیمیایی موضوع مهم مورد مطالعه در سراسر جهان بوده است. روش‌ها و مواد مختلفی برای جذب و هیدرولیز این عوامل به کار برده شده‌اند [۱]. از جمله مواد شیمیایی که به کار برده شده‌اند می‌توان به یدوبنزوپیک اسید، پلی اکسومتالات‌ها، اکسیم‌ها و کلروآمین‌ها اشاره کرد. اخیراً هم برخی نانو اکسیدهای فلزی از قبیل اکسید منیزیم، اکسید آلمینیوم، اکسید تیتانیم، اکسید کلسیم و ... به عنوان کاتالیست در برابر عوامل شیمیایی جنگی به کار گرفته شده‌اند، که توجه زیادی به خود جلب کرده‌اند [۲-۴]. یکی از مهم‌ترین روش‌های رفع آلودگی شیمیایی، استفاده از موادی است که قابلیت هر دو جذب فیزیکی و شیمیایی را دارا باشند، یعنی ابتدا مولکول‌ها به صورت فیزیکی و سپس به صورت شیمیایی جذب و به طور کامل تجزیه شوند [۵].

تحقیقات گسترده در این زمینه نشان می‌دهد که سامانه‌های جاذب فعال بر پایه نانومواد، یکی از کارآمدترین سامانه‌ها برای رفع آلودگی ناشی از عوامل جنگ شیمیایی (CWA) می‌باشند [۶-۹]. از جمله این سامانه‌های جاذب، نانوبولرهای اکسید فلزات می‌باشند.

این نانوبولرهای نه تنها قابلیت خنثی‌سازی مواد صنعتی سی را دارند، بلکه آزمایشات مختلف حاکی از قابلیت فوق العاده آنها در تخریب عوامل جنگ شیمیایی شامل عوامل دسته H، G و V از طریق واکنش هیدرولیز و دهیدرولوژناسیون می‌باشد [۱۰]. نانوذرات اکسید فلز به دلیل مساحت سطح فعال بالا، لبه‌های واکنش دهنده زیاد، نقص بلورین گوشمای و سطوح شبکه‌ای غیرعادی، قابلیت بسیار زیادی برای تخریب عوامل شیمیایی جنگی از خود نشان می‌دهند [۱۱، ۱۰]. مطالعات صورت گرفته در دهه اخیر، به ویژه توسط کلابوند^۱ و همکارانش، نشان داد که اکسیدهای فلزی نظیر TiO_2 , ZnO , CaO , MgO , Al_2O_3 قابلیت مطلوبی در تخریب عوامل شیمیایی از خود نشان می‌دهند [۱۲، ۱۳].

این مواد هم‌چنین برای کاربردهای کاتالیتیکی مختلفی مورد استفاده قرار می‌گیرند. برای تهییه این مواد روش‌های مختلفی گزارش شده است. از بین این روش‌ها نانوذرات اکسید فلزی که به روش آerosol سنتز شدند. در مقایسه با سایر نانوذرات دارای اثر کاتالیتیکی بالاتری بودند، که نه تنها به مساحت سطحی بیشتر نانوذرات بلکه به لبه‌ها و گوشه‌های فعلی بیشتر و شکل و ساختار خلل و فرج دار نانوذرات نسبت داده می‌شود [۱۴]. مشخص شده است که نانوذرات اکسید منیزیم خیلی فعلی اند و عوامل جنگی شیمیایی را شیبیه ذغال فعل جذب می‌کنند و علاوه بر آن، به طور مؤثر آنها را تخریب می‌کنند، که محصولات تخریب هم غیرسمی هستند [۱۵].

عمل جذب عوامل شیمیایی توسط مکان‌های بازی و اسیدی که بر

² Z. Cheng

¹ K. J. Klabunde

باز شد تا گازهای موجود از راکتور خارج گردند. سپس دمای کوره به ۵۰۰ درجه رسانده شد و به مدت ۹۰ دقیقه این دما اعمال گردید. محصول حاصل پودر سفید رنگ AP-MgO بود.

۴-۲. تهیه نانوالیاف

مقدار 0.3 g پلیمر پلی استایرن در محلوت حلال دی متیل فرمامید و تتراهیدروفوران (با نسبت ۲ : ۳) حل گردید. به محلول حاصل 0.33 g نانوذرات منیزیم اکسید اضافه گردید تا درصد نانوذره موجود در الیاف ۱۰ درصد باشد. محلوت حاصل به مدت یک شب هم خورد تا نانوذرات به طور کامل در محلول پخش شوند. پس از بهینه سازی پارامترهای مختلف الکتروریسی، محلول حاصل تحت ولتاژ 14 kV ، اعمال سرعت تزریق 0.4 ml/liter بر ساعت (توسط پمپ تزریق) و فاصله 12 cm متری نوک سرنگ تزریق تا صفحه جمع کننده الیاف، توسط دستگاه الکتروریسی، الکتروریسی شد. الیاف حاصل در آون قرار داده شد، تا خشک شده و برای مراحل بعدی آماده گردد.

۵-۲. روش کار با GC برای بررسی میزان جذب ۲-CEES بر روی الیاف نانوکامپوزیتی

در این مرحله 2 ml میکرولیتر از محلول ۲-کلرو اتیل اتیل سولفاید در 2 ml لیتر حلال هپتان حل شد. 2 ml میکرولیتر n -دکان نیز به عنوان استاندارد داخلی به محلول اضافه گردید. سپس مقدار 0.13 g رنگ نانوالیاف تهیه شده در این محلول ریخته شد و محلول روی همزن مغناطیسی هم زده شد. در دمای 25°C و در زمان های مختلف 1 min میکرولیتر از محلول برداشته و به دستگاه کروماتوگرافی گازی تزریق شد. همچنین آزمایش های مشابهی به ترتیب بر روی 0.13 g رنگ از نانوالیاف پلی استایرن بدون نانوذره اضافه شده و 0.13 g رنگ از نانوذرات اکسید فلزی انجام گردید.

۳. نتایج و بحث

۳-۱. بررسی اندازه و ساختار ذرات با طیف XRD و SEM

طیف XRD مربوط به نانوذرات سنتز شده در شکل (۱) نشان داده شده است. با استفاده از معادله شرر، اندازه متوسط ذرات 20 nm به دست آمد. همچنین از مقایسه این طیف با طیف مرجع [۲۱] مربوط به نانوذرات AP-MgO می توان به خلوص بالای نانوذرات سنتز شده پی برد. تصویر SEM گرفته شده از نانوذرات اکسید فلزی پس از پوشش دادن توسط طلا، در شکل (۲) نشان داده شده است. همان طور که از شکل پیداست نانوذرات به طور کامل به صورت پودر و کروی شکل می باشند.

۲. بخش تجربی

۲-۱. مواد

دی متیل فرمامید و تتراهیدروفوران، از شرکت مرك¹، نوار منیزیم، پلی استایرن و ۲-کلرو اتیل اتیل سولفاید از شرکت آلدريچ² خریداری گردید.

۲-۲. دستگاهها

دستگاه SEM به کار رفته، مدل HITACHI S-300N (ساخت شرکت HITACHI) بود که با بزرگنمایی های مختلف برای تصویربرداری از الیاف و نانوذرات به کار رفت. منبع نور X-Ray مورد استفاده تفگ نشر کننده Cu K α با طول موج 0.15418 nm نانومتر و عمل خواندن در زاویه $100^\circ - 10^\circ$ درجه و با سرعت $2\text{ C}/\text{min}$ به وسیله دستگاه XRD مدل XDS 2000 diffractometer انجام شد.

پمپ تزریق مدل Braun Perfusor compact S (ساخت آلمان)، با تنظیم سرعت 0.4 ml/liter بر ساعت برای تزریق محلول جهت الکتروریسی به کار رفت. الیاف مورد نظر توسط دستگاه الکتروریسی (ساخت گروه فیزیک دانشگاه امام حسین (ع)) تهیه شدند.

دستگاه GC مدل Star3400CX، مجهز به دتکتور FID و ستون پر شده in $80/100\text{ mm} \times 1.8\text{ mm}$ OV-101CWHP به مدت 220°C انتخاب شد و برنامه ریزی دمایی ستون به صورت دمای اولیه 60°C به مدت ۶ دقیقه و سپس افزایش دما از 60°C به 220°C با شیب $20^\circ\text{C}/\text{min}$ و ثابت ماندن دمای ستون به مدت ۱۶ دقیقه در 220°C بود.

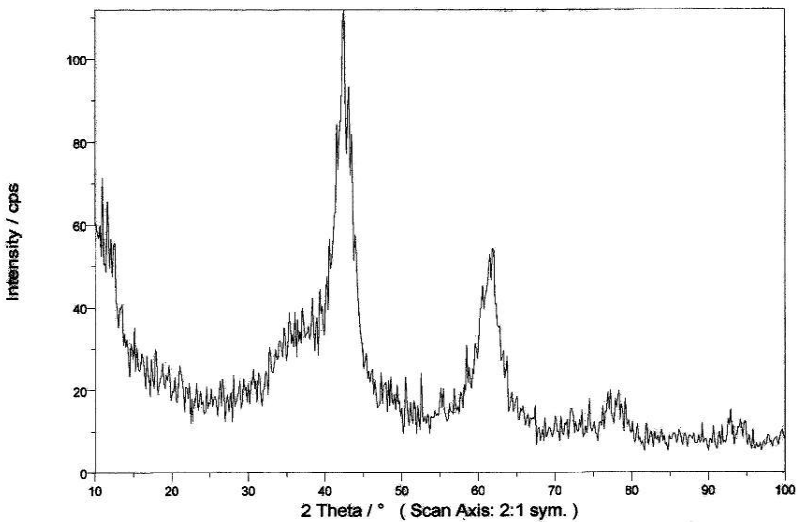
۳-۲. سنتز ۲-AP-MgO

ابتدا مقدار $1/2\text{ g}$ از نوار منیزیم به 50 ml لیتر متانول اضافه شده و روی همزن مغناطیسی قرار داده شد و تحت دمیدن نیتروژن اجازه داده شد تا به مدت یک شب منیزیم به طور کامل حل گردد. محلول شیری رنگ حاصل تحت دمیدن نیتروژن، قطره قطره به 150 ml لیتر تولوئن اضافه گردید. سپس مقدار $1/85\text{ ml}$ لیتر آب قطره دیونیزه شده، به صورت قطره قطره در طول مدت 30 min به محلول حاصل اضافه گردید. این محلول تحت اثر نیتروژن به مدت یک شب هم خورد.

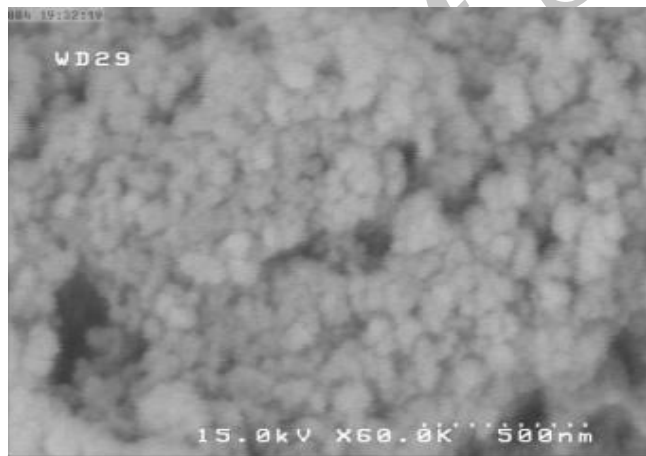
سوسپانسیون شیری رنگ حاصل از این مرحله به یک راکتور (استیل) انتقال و درب آن محکم بسته شد تا در فشار بسیار بالا هیچ نشتی وجود نداشته باشد. توسط یک رابط، فشار گاز داخل راکتور با گاز ازت به 100 psi رسانده شد. سپس راکتور در کوره قرار داده شد و دمای کوره 300°C تا 350°C درجه سانتی گراد تنظیم گردید و به مدت ۲ ساعت این دما حفظ گردید. سپس شیر خروجی راکتور با احتیاط

¹ Merck

² Aldrich



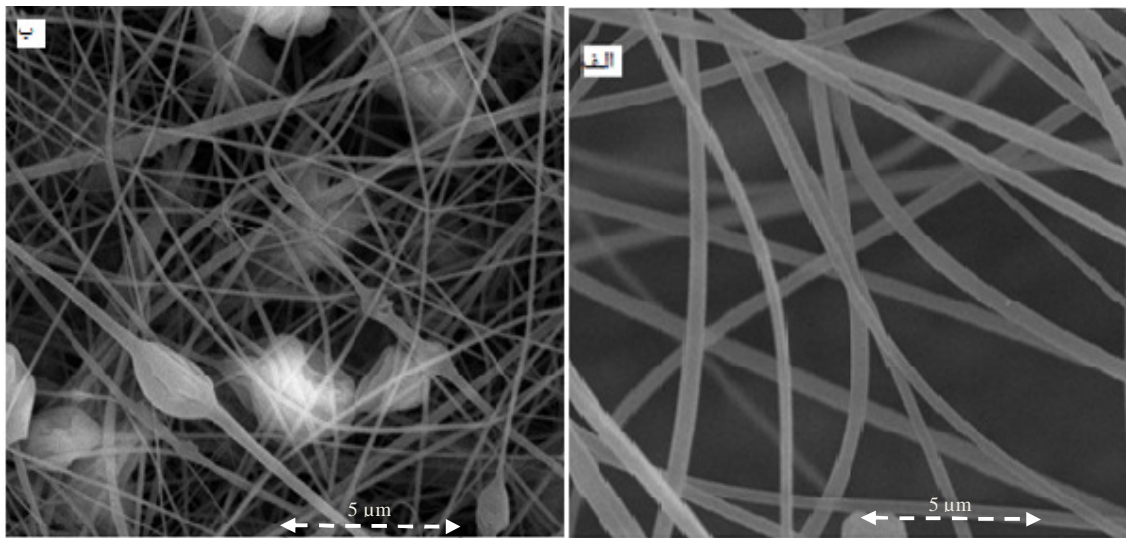
شکل ۱. طیف XRD نانو AP-MgO سنتر شده



شکل ۲. تصویر SEM نانوذرات AP-MgO

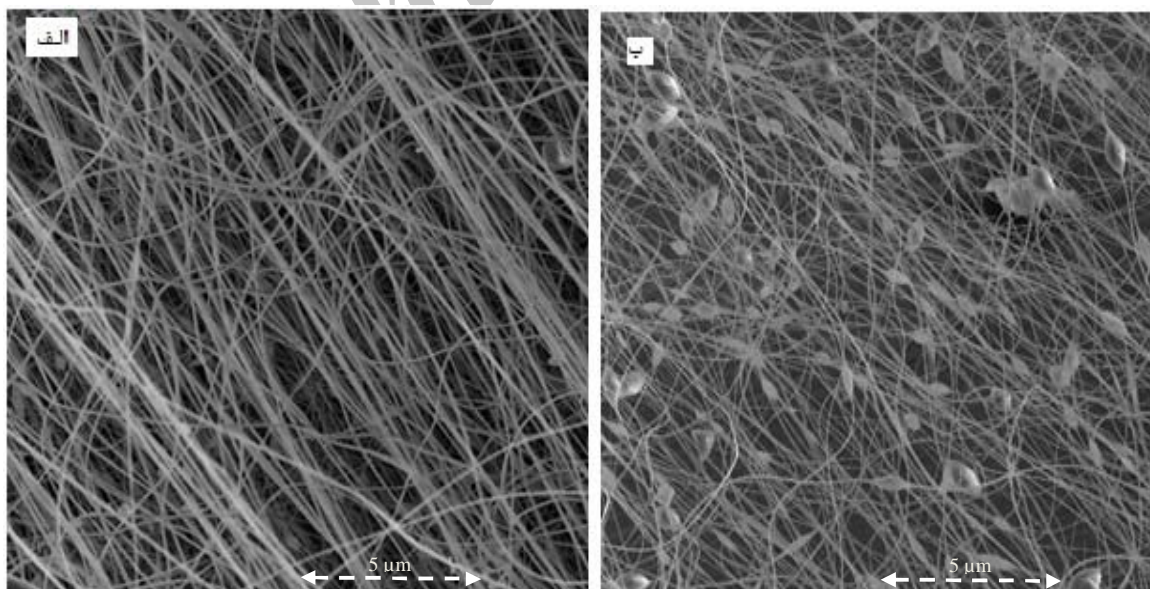
نانوالياف پس از اضافه کردن ذرات اکسید فلزی به طور کامل تحت تأثیر قرار می‌گيرند. اندکی درهم رفتگی در الیاف به وجود می‌آید و قطر الیاف کاهش می‌يابد. اين کاهش قطر احتمالاً به دليل افزایش هدایت الکتریکی محلول الکترورسی پس از اضافه کردن نانوذرات می‌باشد، که موجب اعمال کشش بیشتری به محلول می‌گردد. به طوری که چنین کاهشی در قطر الیاف با اضافه کردن برخی نمک‌ها مانند سدیم کلرید به محلول مشاهده شده است [۲۲، ۲۳]. همچنین تشکیل ساختارهای گلوله مانند باعث ایجاد کشیدگی بیشتر نانوالياف شده و بنابراین قطر متوسط الیاف به طوری که مشاهده می‌گردد، کاهش می‌يابد.

۳-۲. بررسی مورفولوژی الیاف با استفاده از تصاویر SEM
تصاویر گرفته شده از نانوالياف کامپوزیتی پلی استایرن و الیاف بدون اضافه کردن نانوذرات MgO، که توسط دستگاه میکروسکوپ الکترونی رویشی، پس از پوشش دادن الیاف با طلا گرفته شده، در شکل (۳) نشان داده شده است. اضافه کردن نانوذرات به محلول پلیمری مورفولوژی الیاف تشکیل شده را تحت تأثیر قرار داده است. قطر الیاف قبل از اضافه کردن نانوذرات ۱۴۰ تا ۵۵۰ نانومتر می‌باشد. این مقدار برای نانوالياف کامپوزیتی که پس از اضافه کردن نانوذرات MgO به پلی استایرن به دست آمده ۸۰ تا ۳۸۰ نانومتر می‌باشد. همان‌طور که در تصاویر گرفته شده مشاهده می‌گردد، تشکیل



شکل ۳. تصاویر SEM نانوالیاف پلی استایرن با بزرگنمایی ۱۰۰۰۰ الف: قبل از اضافه کردن نانوذرات، ب: بعد از اضافه کردن نانوذرات

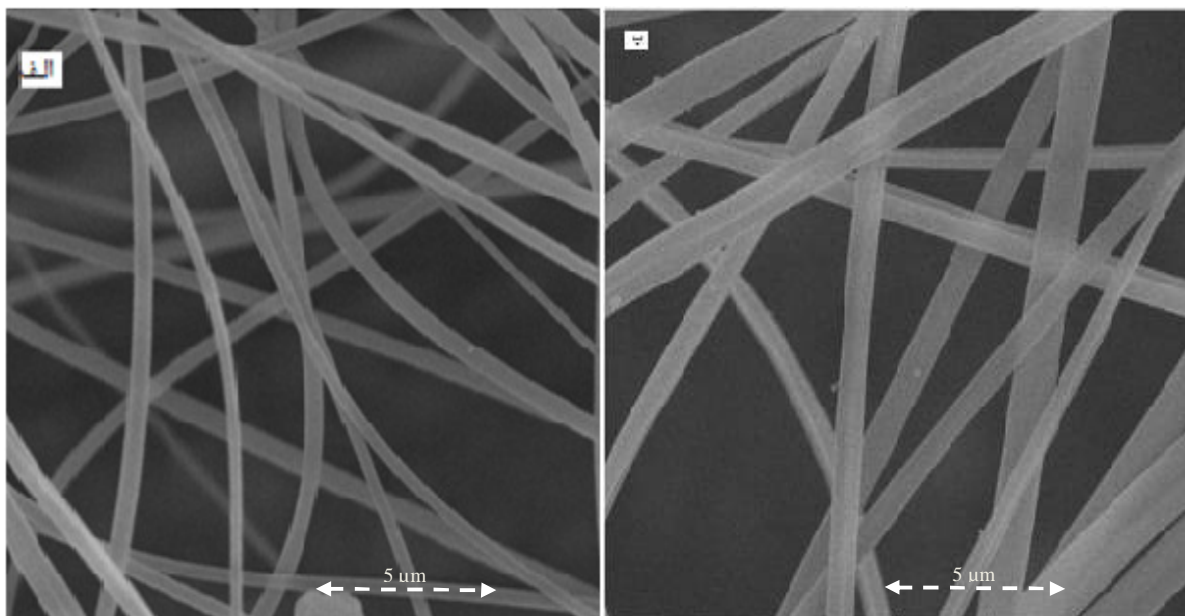
اثر افزایش ولتاژ در تشکیل الیاف نیز در ولتاژهای ۲۰ و ۱۴ کیلوولت مورد بررسی قرار گرفت. همان‌طور که از شکل (۴) پیداست، در ولتاژ ۲۰ کیلوولت تشکیل بیدها موجب نامناسب شدن الیاف گردیده است. یعنی گرایش به تشکیل بیدها در ولتاژ بالاتر بیشتر است. در ولتاژهای بالاتر کاهش زمان پرواز غلبه کرده است. بنابراین الیاف یکپارچه و آرایش یافته‌ای را با تنظیم دقیق ولتاژ بدست آورده.



شکل ۴. تصاویر SEM الیاف پلی استایرن با بزرگنمایی ۱۰۰۰۰ الف: ولتاژ ۱۴ کیلوولت ب: ولتاژ ۲۰ کیلوولت

عمل می‌کند. از طرفی نیز با کاهش فاصله اثر میدان و در نتیجه نیروهای الکتروستاتیک افزایش پیدا می‌کند، که این پدیده موجب کاهش قطر الیاف می‌گردد. بنابراین دو پدیده در جهت مخالف یکدیگر عمل می‌کنند. با توجه به اینکه کدامیک غالب شوند، قطر الیاف افزایش و یا کاهش می‌باشد، که در اینجا مشاهده می‌گردد که قطر الیاف با کاهش فاصله افزایش می‌باشد، به عبارتی افزایش نیروهای الکتروستاتیک نمی‌توانند بر افزایش قطر ناشی از کم شدن فاصله نازل تا صفحه جمع‌کننده غلبه کنند.

تأثیر کاهش فاصله نوک نازل تا صفحه جمع‌کننده در فواصل ۱۲ و ۸ سانتی‌متر بررسی شد. شکل (۵) تصاویر SEM نانوالیاف پلی‌استایرن را در فواصل ۱۲ و ۸ سانتی‌متر نشان می‌دهد. با کاهش فاصله از ۱۲ سانتی‌متر به ۸ سانتی‌متر قطر الیاف نیز افزایش می‌یابد. در فاصله کمتر، الیافی که از نوک نازل شروع به تشکیل شدن می‌کنند، مدت زمان کمتری تا رسیدن به صفحه جمع‌کننده طی می‌کنند، یا به عبارتی زمان پرواز کاهش می‌یابد. بنابراین الیاف فرصت کمتری برای کشیده شدن دارند، که این پدیده در جهت افزایش قطر الیاف نازل تا صفحه جمع‌کننده غلبه کنند.



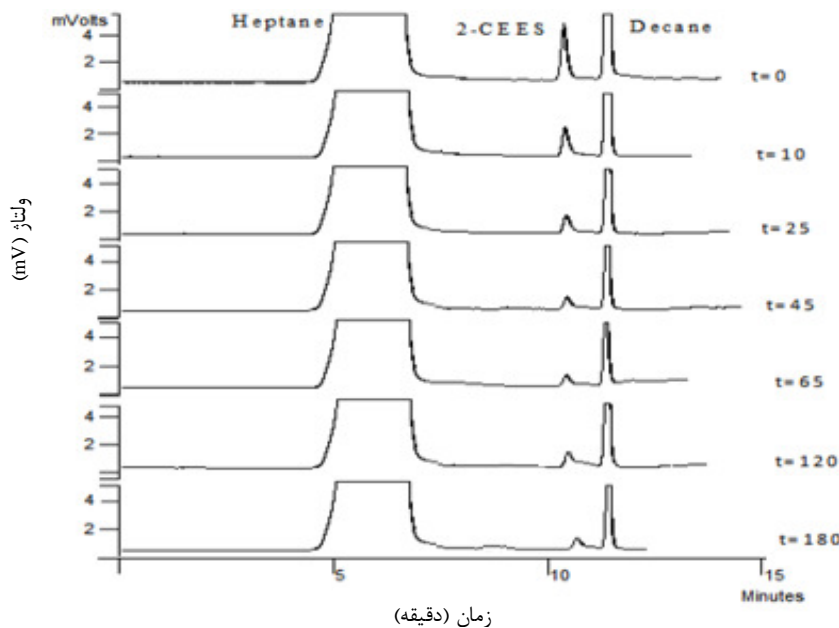
شکل ۵. تصاویر SEM نانوالیاف پلی‌استایرن در فاصله‌های مختلف نوک نازل تا صفحه جمع‌کننده، با بزرگنمایی ۱۰۰۰۰. الف: فاصله ۱۲ سانتی‌متر ب: فاصله ۸ سانتی‌متر

نتایج بیانگر جذب ۸٪ از شبه عامل 2-CEES توسط نانوالیاف پس از گذشت زمان ۱۸۰ دقیقه می‌باشند. همچنین با توجه به شکل (۶) می‌توان دریافت که بیشترین مقدار جذب در دقایق اولیه پس از شروع آزمایش رخ می‌دهد و پس از گذشت زمان ۴۵ دقیقه شبی نمودار کاهش چشم‌گیری دارد، که نشان از اشباع شدن مکان‌های جاذب عوامل شیمیایی دارد.

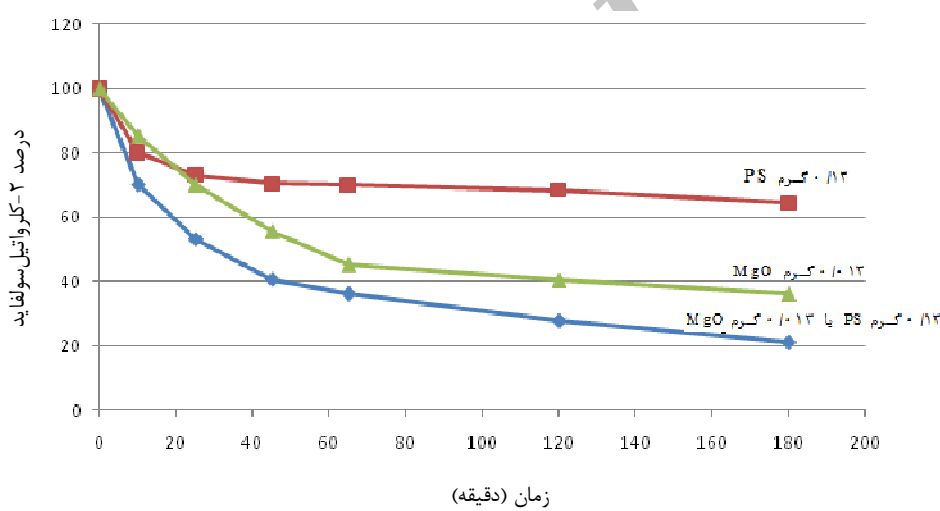
در شکل (۷) نمودار مربوط به رفع آلودگی شبکه عامل توسط الیاف نانوکامپوزیتی، الیاف بدون نانوذره اضافه شده و نانوذرات نیز آورده شده است. بهطوری که از شکل پیداست، رفع آلودگی توسط نانوالیاف کامپوزیتی میزان جذب بیشتری را نسبت به نانوالیاف بدون نانوذره اضافه شده و نانوذرات به تنها یکی، انجام می‌دهند.

۳-۳. اندازه‌گیری میزان جذب ۲-کلرواتیل‌اتیل‌سولفاید توسط نانوالیاف کامپوزیتی

۱ میکرولیتر از محلول مورد آزمایش که حاوی ۲ میلی‌لیتر حلal هپتان، ۲ میکرولیتر 2-CEES و ۲ میکرولیتر n-دکان به عنوان استاندارد داخلی و ۰/۱۳ گرم نانوالیاف بود در زمان‌های ۰، ۱۰، ۲۵، ۴۵، ۶۵، ۱۲۰ و ۱۸۰ دقیقه برداشته شد و به دستگاه GC تزریق گردید. کروماتوگرام حاصل در شکل (۶) آورده شده است. کروماتوگرام‌های حاضر در شکل (۶) از بالا به پایین به ترتیب مربوط به شاهد، زمان‌های ۱۰، ۲۵، ۴۵، ۶۵، ۱۲۰ و ۱۸۰ دقیقه می‌باشند. همان‌طور که در شکل مشاهده می‌شود، از بالا به پایین روند کاهشی در اندازه پیک مربوط به 2-CEES آورده شده است. در اینجا نمودار نشان می‌دهد که در شکل مشاهده می‌شود، از بالا به پایین وجود دارد؛ بنابراین جذب شبکه عامل توسط نانوالیاف صورت گرفته است.



شکل ۶. کروماتوگرام‌های GC مربوط به جذب 2-CEES توسط نانوالياف کامپوزیتی، در زمان‌های مختلف



شکل ۷. نمودارهای مربوط به جذب شبه‌عامل توسط نانوالياف و نانوذرات

بهینه‌سازی شرایط عمل، برای انجام الکتروریسی امری ضروری است. همچنین مشاهده شد که با اضافه شدن درصد نانوذرات در محلول پلیمری تشكیل الیاف کامپوزیتی سخت‌تر شده و ساختارهای گلوله مانند بیشتری به وجود می‌آیند. در آزمایش انجام شده تصاویر SEM الیاف به دست آمده از محلول‌های حاوی نانوذرات با درصدهای ۱۰، ۲۰ و ۳۰ مورد بررسی قرار گرفت و مشاهده شد که الیاف به دست آمده از محلول حاوی نانوذرات با درصد پایین‌تر (۱۰٪) نسبت به الیاف به دست آمده از محلول‌های حاوی نانوذرات با درصدهای بالاتر از کیفیت مناسب‌تری برخوردار می‌باشد. بنابراین، امکان حصول

۴. نتیجه‌گیری

نانوذرات اکسید منیزیم که به روش آئروول تولید شدند، به علت وجود تعداد زیاد لبه‌ها، گوشش‌های فعال و نقش‌های بلورین، فعالیت خوبی در برابر عوامل شیمیایی جنگی دارند، اما به دلیل جذب رطوبت و کاهش شدید در توانایی جذب و تخریب عامل شیمیایی قابلیت استفاده در مناطق عملیاتی را ندارند. فن الکتروریسی برای تهیه کامپوزیت از نانوذرات و پلیمر مورد استفاده قرار گرفت. مشاهده گردید که تشكیل الکتروریسی مورد بررسی قرار گرفت. مشاهده گردید که تشكیل الیاف به شدت تحت تأثیر پارامترهای الکتروریسی قرار می‌گیرند. لذا

- [8] Wagner, G.; Procell, L.; Comer, R.; Munavalli, S.; Carnes C.; Kapoor, P.; Klabunde, K. "Reactions of VX, GB, GD, and HD with Nanosize Al₂O₃-Formation of Aluminophosphonates."; *J. Am. Chem. Soc.* 2001, 123, 1636–1644.
- [9] Waysbort, D.; Garvey, D.; Creasy, W.; Morrissey, K.; Hendrickson, D.; Durst, H. "A Decontamination System for Chemical Weapons Agents using a Liquid Solution on a Solid Sorbent."; *J. Hazard. Mater.* 2009, 161, 1114–1121.
- [10] Kleinhammes, A.; Wagner, G.; Kulkarni, H.; Jia, Y.; Zhang, Q.; Qin, L.; Wu, Y. "Decontamination of 2-Chloroethyl Ethyl Sulfide Using Titanate Nanoscrolls."; *Chem. Phys. Lett.* 2005, 411, 81–85.
- [11] Mahato, T.; Prasad, G.; Singh, B.; Acharya, J.; Srivastava, A.; Vijayaraghavan, R. "Nanocrystalline Zinc Oxide for the Decontamination of Sarin."; *J. Hazard. Mater.* 2009, 165, 928–932.
- [12] Prasad, G.; Mahato, T.; Pandey, P.; Singh, B.; Suryanarayana, M.; Saxena, A.; Shekhar, K. "Reactive Sorbent Based on Manganese Oxide Nanotubes and Nanosheets for the Decontamination of 2-Chloroethyl Ethyl Sulphide."; *Micropor. Mesopor. Mater.* 2007, 106, 256–261.
- [13] Koper, O.; Klabunde, K.; Martin, L.; Knappenberger, K.; Hladky, L.; Decker S. "Method for Biological and Chemical Contamination"; US Patent 7,335,808 , 2008.
- [14] Epifani, M.; Diaz, R.; Arbiol, J.; Comini, E.; Sergent, N.; Pagnier, T.; Siciliano, P.; Faglia, G.; Morante, JR. "Nanocrystalline Metal Oxides from the Injection of Metal Oxide Solns in Coordinating Solutions: Synthesis, Characterization, Thermal Stabilization, Device Processing, and Gas-Sensing Properties."; *Adv. Funct. Mater.* 2006, 16, 1488.
- [15] Koper, O.; Lucas, E.; Klabunde, K. "Development of Reactive Topical Skin Protectants Against Sulfur Mustard and Nerve Agents."; *J. Appl. Toxicol.* 1999, 19, 59.
- [16] Cheng, Z.; Tang, H.; Zhu, H.; Zuo, G.; Zhang, M. "Effect of Acid and Base Sites on the Degradation of Sulfur Mustard over Several Typical Oxides."; *Appl. Cat. B. Env.* 2008, 79, 323–330.
- [17] Zhao, H.; Robert, K. Y. "Effect of Water Absorption on the Mechanical and Dielectric Properties of Nano-Alumina Filled Epoxy Nanocomposites."; *Key Engineering Materials* 2007, 334, 617–620.
- [18] Wannatong, L.; Sirivat, A. "Effects of Solvents on Electrospun-Polymeric Fibers: Preliminary Study on Polystyrene."; *Polymer. Int.* 2004, 53, 1851–1859.
- [19] Huang, Z.; Zhang, Z.; Kotaki, M.; Ramakrishna, S. "A Review on Polymer Nanofibers by Electrospinning and Their Application in Nanocomposite."; *Compos. Sci. Technol.* 2003, 63, 2223–2253.
- [20] Klabunde, K. "Nanocrystals as Stoichiometric Reagents with Unique Surface Chemistry."; *J. Phys. Chem.* 1996, 100, 12143.
- [21] http://riodb01.ibase.aist.go.jp/sdbs/cgi-bin/direct_frame_top.cgi, 2011.
- [22] Yang, Q.; Li, D.; Hong, Y.; Li, Z.; Wang, C.; Qiu, S.; Wei, Y. "Preparation and Characterization of a PAN Nanofibre Containing Ag Nanoparticles via Electrospinning."; *Synth. Metals* 2003, 137, 973.
- [23] Zhou, Q.; Tang, C.; Wang, Y-Z.; Zheng, L. "Catalytic Degradation and Dechlorination of PVC-Containing Mixed Plastics via Al-Mg Composite Oxide Catalysts."; *Fuel* 2004, 83, 1727.

تغییرات در مورفولوژی نانولایاف با تغییر پارامترهای الکتروزیس وجود دارد. پلیمر پلی استایرن بستر مناسبی را برای قرار گرفتن نانوذرات اکسید فلزی فراهم آورده است. نانوذرات اکسید فلزی با قرار گرفتن در بستر نانولایاف مقداری از فعالیت خود را از دست می دهد. این مقدار برای نانوذرات منیزیم اکسید در الیاف پلی استایرن ۳۰٪^۱ بود. در کاری که در سال ۲۰۰۷ توسط سوندراجان^۱ و همکارانش برای رفع آبودگی از عامل عصی پاراکسون انجام شد، این مقدار ۵۰٪ گزارش شده است. از مقایسه این نتایج می توان به این نتیجه رسید که هر اندازه قطر الیاف تهیه شده کمتر باشد، تعداد بیشتری از نانوذرات بر روی سطح الیاف قرار خواهد گرفت. بنابراین درصد کاهش فعالیت نانوذرات موجود در الیاف نیز کمتر خواهد بود. بنابراین همان طور که از شکل (۷) نیز پیداست، میزان جذب توسط نانولایاف نانوکامپوزیتی از نانوذرات بیشتر است. بنابراین با انجام آزمایش های بیشتر در این زمینه و همچنان تهیه الیاف کامپوزیتی در مقیاس صنعتی می توان با کنار هم قرار دادن لایه هایی از الیاف تولید شده لباس های محافظ و ماسک های با خصوصیات فیلتری بهتری در برابر عوامل شیمیایی جنگی تولید کرد.

۷. مراجع

- [1] Sundarrajan, S.; Ramakrishna, S. "Fabrication of Nanocomposite Membranes from Nanofibers and Nanoparticles for Protection Against Chemical Warfare Stimulants."; *J. Mater. Sci.* 2007, 42, 8400–8402.
- [2] Moss, R.; Kim, K.; Swarup, S. "Efficient Catalytic Cleavage of Reactive Phosphates by a Functionalized o-Iodosobenzoate Surfactant."; *J. Am. Chem. Soc.* 1986, 108, 788–93.
- [3] Bunton, C.; Foroudian, H.; Gillitt, N. "Reduction of o-Iodosobenzoate Ion by Sulfides and Its Oxidative Regeneration."; *J. Phys. Org. Chem.* 1999, 12, 758.
- [4] Yang, Y-C. "Decontamination of Chemical Warfare Agents."; *Acc. Chem. Res.* 1999, 32, 109–115.
- [5] Saxena, A.; Srivastava, A.; Sharma, A.; Singh, B. "Kinetics of Adsorption of 2-Chloroethyl Ethyl Sulphide on Al₂O₃ Nanoparticles with and without Impregnants."; *J. Hazard. Mater.* 2009, 112, 419–27.
- [6] Stout, S.; Larsen, S.; Grassian, V. "Adsorption, Desorption and Thermal Oxidation of 2-CEES on Nanocrystalline Zeolites."; *Micropor. Mesopor. Mater.* 2007, 100, 77–86.
- [7] Wagner, G.; Bartram, P.; Koper, O.; Klabunde, K. "Reactions of VX, GD, and HD with Nanoscale MgO."; *J. Phys. Chem.* 1999, 103, 3225–3228.

^۱ S. Sundrajan